

УДК 539.3

## ЗАДАЧА ДЛЯ СОСТАВНОЙ ПЛОСКОСТИ, ОСЛАБЛЕННОЙ МНОГОУГОЛЬНЫМ ОТБЕРСТИЕМ

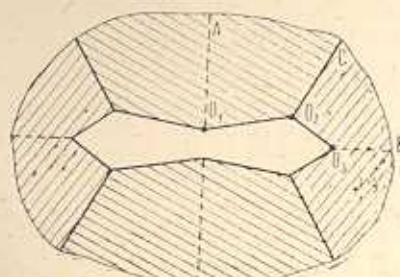
БАБЛОЯН А. А., ТАДЕВОСЯН Р. Г.

Исследованию напряженного состояния бесконечных клиновидных областей посвящены работы [1—11] и др.

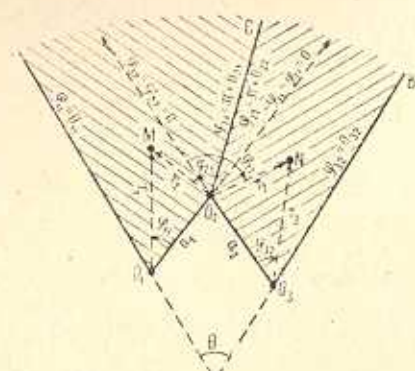
Методом «кусочно-однородных» решений Б. М. Нуллер рассмотрел задачу для составных  $M$ -образных областей, имеющих три угловые точки, когда линия контакта имеет определенное направление. Аналогичные задачи для составных тел, когда исследуемое тело имеет две или три угловые точки с раствором  $k\pi/2$  ( $k=1, 2, 3$ ), рассматривались в работах [3, 4] и др.

В работах [1, 2, 7] приводятся решения задач для составных клиновидных областей, имеющих две (внутренние или внешние) угловые точки с произвольным раствором углов, причем линия раздела различных материалов проходит через вершины углов под произвольным направлением. Все эти задачи решались методом, предложенным в [2], сущность которого состоит в следующем: вводятся две системы полярных координат с центрами, совпадающими, соответственно, с угловыми точками. Применяя принцип «обобщенной» суперпозиции и точно удовлетворяя условиям контакта двух материалов, задача сводится к решению регулярных интегральных уравнений, а затем — к бесконечным системам алгебраических уравнений. Используемый метод позволяет получить искомые напряжения около угловых точек с выделенными характерными особенностями.

1°. В данной работе приводится решение задачи теории упругости для симметрично собранной плоскости, ослабленной многоугольным от-



Фиг. 1



Фиг. 2

верстием (фиг. 1). Отверстие имеет  $n$  ( $n=1, 2, \dots$ ) осей симметрии и  $4n$  сторон, которые попарно равны между собой. В силу симметрии задачу будем решать только для заштрихованной  $M$ -образной части составной области (фиг. 2), удовлетворяя при этом условиям симметрии на лучах  $O_1A$  и  $O_3B$ :

$$\tau_{\varphi}^{(k)} = 0, \quad V_{\varphi}^{(k)} = 0, \quad (k=1, 2) \quad (1.1)$$

Пусть модуль Юнга и коэффициент Пуассона для первого материала будут  $E_1, \nu_1$ , а для второго —  $E_2, \nu_2$ . Принимается, что по лу-чу  $O_2C$  материалы склеены друг с другом

$$\sigma_{\varphi}^{(1)} = \sigma_{\varphi}^{(2)}, \quad \tau_{r\varphi}^{(1)} = \tau_{r\varphi}^{(2)}, \quad U_r^{(1)} = U_r^{(2)}, \quad V_{\varphi}^{(1)} = V_{\varphi}^{(2)} \quad (1.2)$$

На отрезках  $O_1O_2$  и  $O_2O_3$  заданы напряжения в виде интегрируемых функций

$$\sigma_{\varphi}^{(k)} = f_{k1}, \quad \tau_{r\varphi}^{(k)} = f_{k2}, \quad (k=1, 2) \quad (1.3)$$

Как известно [8], рассматриваемая задача сводится к определению бигармонической внутри области функции  $F$ , удовлетворяющей условиям (1.1) — (1.3).

Введем четыре системы полярных координат  $(r_1, \varphi_{11}), (r_2, \varphi_{21}), (r_2, \varphi_{22}), (r_3, \varphi_{32})$  с центрами соответственно в точках  $O_1, O_2, O_2, O$  (фиг. 2).

Решение поставленной задачи ищем в виде

$$F = \begin{cases} F_1 & \text{внутри первого материала} \\ F_2 & \text{внутри второго материала} \end{cases} \quad (1.4)$$

Каждую из функций  $F_k$  ( $k=1, 2$ ) представим в виде суммы двух интегралов Меллина

$$F_k = \sum_{n=k}^{k+1} F_{nk}(r_n, \bar{\varphi}_{nk}) = \frac{1}{2\pi i} \sum_{n=k}^{k+1} \int_{L_n} \Phi_{nk}(s, \bar{\varphi}_{nk}) r_n^{1-s} ds$$

$$\bar{\varphi}_{11} = \varphi_{11}, \quad \bar{\varphi}_{21} = \varphi_{21} - \pi, \quad \bar{\varphi}_{22} = \varphi_{22} - \pi, \quad \bar{\varphi}_{32} = \varphi_{32} \quad (1.5)$$

(Здесь и в дальнейшем первый индекс указывает вершину угла, внутри которой функция  $F_{nk}$  бигармонична, а второй индекс указывает материал).

$L_n$  — прямые, параллельные мнимой оси комплексной плоскости  $s$

$$(s = c_n + iy, \quad -\infty < y < +\infty, \quad -1 < c_n < 0, \quad \epsilon > 0)$$

Функции  $\Phi_{nk}$  удовлетворяют уравнению

$$\Phi^{IV}(s, \bar{\varphi}) + 2(s^2 + 1)\Phi'' + (s^2 - 1)^2\Phi = 0 \quad (1.6)$$

следовательно, их можно представить в виде

$$\Phi_{nk}(s, \bar{\varphi}_{nk}) = A_{nk}(s) \cos(s-1)\bar{\varphi}_{nk} + B_{nk} \sin(s-1)\bar{\varphi}_{nk} + C_{nk} \cos(s+1)\bar{\varphi}_{nk} +$$

$$+ D_{nk} \sin(s+1)\bar{\varphi}_{nk} \quad (1.7)$$

Из фиг. 2 следует, что углы  $\varphi_{pk}$  изменяются в пределах: для первого материала  $0 \leq \varphi_{11} \leq \theta_{11}$ ,  $\theta_{21} \leq \varphi_{21} - \pi = \bar{\varphi}_{21} \leq 0$ ; для второго материала  $\theta_{22} \leq \varphi_{22} - \pi = \bar{\varphi}_{22} \leq 0$ ,  $0 \leq \varphi_{32} \leq \theta_{32}$  и имеют место неравенства

$$\theta_{11} + \theta_{32} \leq 2\pi, \quad \theta_{21} + \theta_{22} \leq 2\pi, \quad \theta_{11} - \theta_{21} \geq \pi, \quad \theta_{32} - \theta_{22} \geq \pi \quad (1.8)$$

2°. Требуем, чтобы функции  $F_{11}$  и  $F_{32}$  на отрезках  $O_1O_2$  и  $O_2O_3$  соответственно удовлетворяли условиям (1.3), а функции  $F_{21}$  и  $F_{22}$  на этих же отрезках удовлетворяли условиям свободного края, аналогичным однородным условиям. В дальнейшем целесообразно вместо неизвестных функций, входящих в (1.7), вводить новые неизвестные  $X_{pk}$ ,  $Y_{nk}$  ( $p=1, 3$ ;  $n, k=1, 2$ )

$$\begin{aligned} \xi C_{pk} \Delta_p &= -a_k^{\pm} (\tilde{x}_{pk}^- X_{p1} + \tilde{x}_{pk}^+ X_{p2} + \tilde{f}_{p1} S_p^- + \tilde{f}_{p2} C_p^-) \\ \xi D_{pk} \Delta_p &= a_k^{\pm} (\tilde{\beta}_{pk}^+ X_{p1} + \tilde{\beta}_{pk}^- X_{p2} - \tilde{f}_{p1} C_p^+ + \tilde{f}_{p2} S_p^+) \\ \xi C_{2k} \Delta_2 &= a_2^{\pm} (M_{2k}^- Y_{11} + N_{2k}^- Y_{12} + Q_{2k}^- Y_{21} + P_{2k}^- Y_{22}) \\ \xi D_{2k} \Delta_2 &= a_2^{\pm} (N_{2k}^+ Y_{11} + M_{2k}^+ Y_{12} + P_{2k}^+ Y_{21} + Q_{2k}^+ Y_{22}) \\ \xi [(\xi - 1) B_{pk} + (\xi + 1) D_{pk}] &= a_k^{\pm} \tilde{f}_{p2}(\xi) \\ \xi (\xi - 1) (A_{pk} + C_{pk}) &= a_k^{\pm} \tilde{f}_{p1}(\xi) \\ (\xi - 1) B_{2k} + (\xi + 1) D_{2k} &= 0, \quad A_{2k} + C_{2k} = 0, \quad \left( n=1, 2; \quad p=\begin{cases} 1, & k=1 \\ 3, & k=2 \end{cases} \right) \quad (2.1) \end{aligned}$$

При этом граничные условия (1.3) удовлетворяются тождественно. Здесь введены следующие обозначения:

$$\begin{aligned} E_m M_{2k}^{\pm}(\xi) &= \pm (-1)^m (E_m \tilde{x}_{2k}^{\pm} \tilde{\delta}_m^{\mp} - E_m \tilde{\beta}_{2k}^{\pm} C_{2m}^{\mp} - E_k \alpha_{2k}^{\pm} \gamma_m) \\ E_m N_{2k}^{\pm}(\xi) &= (-1)^m (E_m \tilde{\beta}_{2k}^{\pm} \tilde{\delta}_m^{\pm} + E_m \tilde{x}_{2m}^{\pm} C_{2m}^{\pm} - E_k \beta_{2k}^{\pm} \gamma_m) \\ E_2 E_k Q_{2k}^{\pm}(\xi) &= (-1)^{m+1} [E_k^2 (\tilde{x}_{2k}^{\pm} \tilde{\delta}_m^{\pm} + \tilde{\beta}_{2k}^{\pm} C_{2m}^{\mp}) - E_2 E_m \alpha_{2k}^{\pm} \tilde{\delta}_m] \\ E_2 E_k P_{2k}^{\pm}(\xi) &= \pm (-1)^m [E_k^2 (\tilde{\beta}_{2k}^{\pm} \tilde{\delta}_m^{\mp} - \tilde{x}_{2k}^{\pm} C_{2m}^{\pm}) - E_2 E_m \tilde{\beta}_{2k}^{\pm} \tilde{\delta}_m] \\ S_p^{\pm}(\xi, \theta_{pk}) &= \mp 2 (\sin 2\xi \theta_{pk} \pm \sin 2\theta_{pk}) \\ C_p^{\pm}(\xi, \theta_{pk}) &= 4 [\sin^2(\xi \theta_{pk} + \pi/4 \mp \pi/4) - \sin^2 \theta_{pk}] \\ \alpha^{\pm}(\xi, \theta) &= (1 \mp \xi) [\cos(\xi - 1)\theta - \cos(\xi + 1)\theta] \\ \beta^{\pm}(\xi, \theta) &= (1 \pm \xi) \sin(\xi + 1)\theta + (1 \mp \xi) \sin(\xi - 1)\theta \\ \tilde{\alpha}^{\pm}(\xi, \theta) &= (1 + \nu) \alpha^{\pm} + 4 \cos(\xi + 1)\theta \\ \tilde{\beta}^{\pm}(\xi, \theta) &= (1 + \nu) \beta^{\pm} - 4 \sin(\xi + 1)\theta \\ C_{2k}^{\pm}(\xi, \theta_{2k}) &= \sin 2\xi \theta_{2k} \pm \xi \sin 2\theta_{2k} \\ \tilde{\Delta}_k(\xi, \theta_{2k}) &= \sin^2 \xi \theta_{2k} - \xi^2 \sin^2 \theta_{2k} \\ \gamma_k(\xi, \theta_{2k}) &= (1 + \nu_k)^2 \tilde{\Delta}_k - 4(1 + \nu_k) \sin^2 \xi \theta_{2k} + 4 \\ \tilde{\alpha}_k^{\pm}(\xi, \theta_{2k}) &= (1 + \nu_k) \tilde{\Delta}_k - 2(\sin^2 \xi \theta_{2k} \pm \xi \sin^2 \theta_{2k}) \end{aligned}$$

$$\delta = \frac{1+\nu_1}{E_1} - \frac{1+\nu_2}{E_2}, \quad \delta_k = \frac{4}{\delta E_k}, \quad \left( p = \begin{cases} 1, & k=1 \\ 3, & k=2 \end{cases} \right) \quad (2.2)$$

$$\Delta_p(\xi) = 4C_{pk}^+(\xi, \theta_{pk})$$

$$\begin{aligned} \Delta_2(\xi) = & 4\{\delta E_1 E_2 [\tilde{\delta}\tilde{\Delta}_1 \tilde{\Delta}_2 + 4(\tilde{\Delta}_1 \sin^2 \xi \theta_{21}/E_1 - \tilde{\Delta}_2 \sin^2 \xi \theta_{12}/E_2)] + \\ & + 4(E_1 \tilde{\Delta}_1/E_2 + E_2 \tilde{\Delta}_2/E_1) - 8[\cos(\theta_{21} - \theta_{12}) \xi \sin \xi \theta_{21} \sin \xi \theta_{12} - \\ & - \xi \cos(\theta_{21} - \theta_{12}) \sin \theta_{21} \sin \theta_{12}]\} \end{aligned} \quad (2.3)$$

Функции  $f_{pk}(\xi)$  определяются по формулам

$$\tilde{f}_{pk}(\xi) = a_k^{-\xi} \int_0^{a_k} f_{pk}(r_p) r_p^p dr_p \quad (2.4)$$

Удовлетворяя условиям симметрии (1.1) и условиям контакта (1.2), после ряда преобразований для определения новых неизвестных функций получим следующие сингулярные интегральные уравнения:

$$\begin{aligned} X_{pk}(s) - \int_{L_1} [Y_{11}(\xi) K_{2m}^{(l(0))}(s, \xi) + Y_{21} K_{2m}^{(l(0)+1)} + Y_{12} K_{2m}^{(l(0)+2)} + Y_{22} K_{2m}^{(l(0)+3)}] d\xi = 0 \\ Y_{nk}(s) + \int_{L_1} [X_{11} K_{1n}^{(l(0))} + X_{12} K_{1n}^{(l(0)+1)}] d\xi + \int_{L_2} [X_{21} K_{1n}^{(l(0)+2)} + X_{22} K_{1n}^{(l(0)+3)}] d\xi = F_{nk}(s) \\ \left( l(1)=1, l(2)=5; p=1, 3; n, k=1, 2; m = \begin{cases} 1, & p=1 \\ 2, & p=3 \end{cases} \right) \end{aligned} \quad (2.5)$$

Ядра интегральных уравнений имеют вид

$$K_{nk}^{(j)}(s, \xi) = \frac{B(s+1, \xi-s)}{2\pi i \Delta_q(\xi)} K_{nk}^{(j)}(s, \xi) \left( \frac{a_k}{a_s} \right)^s, \quad (j=1 \dots 8) \quad (2.6)$$

( $n, k=1, 2; q$  принимает значение 1, 2 или 3 соответственно линии  $L_1, L_2$  или  $L_3$ , интегрирования).

Здесь  $B(s, \xi)$  — бета-функция, а функции  $k_{nk}^{(j)}$  определяются по формулам

$$\begin{aligned} k_{11}^{(k)}(s, \xi) = & (-1)^{k+1} (\alpha_{2k}^+ \tilde{\alpha}_{pk}^- - \beta_{2k}^- \tilde{\beta}_{pk}^+), \quad k_{11}^{(k+2)} = (-1)^k (\alpha_{2k}^+ \alpha_{pk}^- + \beta_{2k}^- \beta_{pk}^+) \\ k_{11}^{(j+4)} = & \frac{1}{s-1} \frac{\partial}{\partial \xi_{2k}} k_{11}^{(j)} \\ k_{12}^{(k)} = & (-1)^k [\tilde{E}_k (\alpha_{2k}^+ \tilde{\alpha}_{pk}^- + \beta_{2k}^- \tilde{\beta}_{pk}^+) + \alpha_E (\tilde{\alpha}_{pk}^- \cos(s+1)\xi_{2k} - \tilde{\beta}_{pk}^+ \sin(s+1)\xi_{2k})] \\ k_{12}^{(k+2)} = & (-1)^k [\tilde{E}_k (\alpha_{2k}^+ \tilde{\alpha}_{pk}^- + \beta_{2k}^- \tilde{\beta}_{pk}^+) + \alpha_E (\alpha_{pk}^- \cos(s+1)\xi_{2k} - \beta_{pk}^+ \sin(s+1)\xi_{2k})] \\ k_{12}^{(k+4)} = & (-1)^{k+1} [\tilde{E}_k (\alpha_{2k}^- \tilde{\beta}_{pk}^+ - \beta_{2k}^+ \tilde{\alpha}_{pk}^-) + \alpha_E (\tilde{\alpha}_{pk}^- \sin(s+1)\xi_{2k} + \tilde{\beta}_{pk}^+ \cos(s+1)\xi_{2k})] \\ k_{12}^{(k+6)} = & (-1)^{k+1} [\tilde{E}_k (\alpha_{2k}^- \tilde{\beta}_{pk}^+ - \beta_{2k}^+ \tilde{\alpha}_{pk}^-) + \alpha_E (\alpha_{pk}^- \sin(s+1)\xi_{2k} + \beta_{pk}^+ \cos(s+1)\xi_{2k})] \end{aligned}$$

$$\begin{aligned}
k_{2k}^{(1)} &= \beta_{pk}^+ M_{2k}^- + \alpha_{pk}^- N_{2k}^+, \quad k_{2k}^{(2)} = \beta_{pk}^+ Q_{2k}^- + \alpha_{pk}^- P_{2k}^+ \\
k_{2k}^{(3)} &= \beta_{pk}^+ N_{2k}^- + \alpha_{pk}^- M_{2k}^+, \quad k_{2k}^{(4)} = \beta_{pk}^+ P_{2k}^- + \alpha_{pk}^- Q_{2k}^+ \\
k_{2k}^{(5)} &= (1+\nu_k) k_{2k}^{(1)} + 4[\sin(s+1)\varepsilon_{pk} - \cos(s+1)\varepsilon_{pk}] \\
k_{2k}^{(6)} &= (1+\nu_k) k_{2k}^{(2)} + 4[\sin(s+1)\varepsilon_{pk} - \cos(s+1)\varepsilon_{pk}] \\
k_{2k}^{(7)} &= (1+\nu_k) k_{2k}^{(3)} + 4[\sin(s+1)\varepsilon_{pk} - \cos(s+1)\varepsilon_{pk}] \\
k_{2k}^{(8)} &= (1+\nu_k) k_{2k}^{(4)} + 4[\sin(s+1)\varepsilon_{pk} - \cos(s+1)\varepsilon_{pk}] \\
\tilde{E}_k &= (1+\nu_k) E_k / E_k, \quad \alpha_E = 4E_k / E_k \\
\varepsilon_{k1} &= \theta_{k1} - (-1)^{k-1}\pi, \quad \varepsilon_{m2} = \theta_{m2} - (-1)^{m-1}\pi \\
(k=1, 2; \quad m=2, 3; \quad j=1 \div 4)
\end{aligned} \tag{2.7}$$

Свободные члены системы (2.5) выражаются через функции (2.2) и (2.4) следующим образом:

$$F_{nk}(s) = - \int_{L_1} [\tilde{f}_{11}(\xi) F_{nk}^{(1)}(s, \xi) + \tilde{f}_{12} F_{nk}^{(2)}] d\xi - \int_{L_2} [\tilde{f}_{31} F_{nk}^{(2)} + \tilde{f}_{32} F_{nk}^{(4)}] d\xi \tag{2.8}$$

Здесь

$$\begin{aligned}
F_{nk}^{(j)}(s, \xi) &= \frac{B(s+1, \xi-s)}{2\pi i \Delta_p(\xi)} f_{nk}^{(j)}(s, \xi) \left( \frac{a_k}{a_j} \right)^s, \quad (j=1 \div 8, \quad k=1, 2) \\
f_{11}^{(p)}(s, \xi) &= (-1)^{k+1} (\beta_{2k}^- C_p^+ - \alpha_{2k}^+ S_p^-) \\
f_{11}^{(k+2)} &= (-1)^k (\beta_{2k}^- S_p^+ + \alpha_{2k}^+ C_p^-), \quad f_{12}^{(j)} = \frac{1}{s-1} \frac{\partial}{\partial \varepsilon_{2k}} f_{11}^{(j)} \tag{2.9}
\end{aligned}$$

$$\begin{aligned}
f_{21}^{(k)} &= (-1)^k [\tilde{E}_k (\alpha_{2k}^+ S_p^- - \beta_{2k}^- C_p^+) + \alpha_E (S_p^- \cos(s+1)\varepsilon_{2k} + C_p^+ \sin(s+1)\varepsilon_{2k})] \\
f_{21}^{(k+2)} &= (-1)^k [\tilde{E}_k (\alpha_{2k}^+ C_p^- + \beta_{2k}^- S_p^+) + \alpha_E (C_p^- \cos(s+1)\varepsilon_{2k} - S_p^+ \sin(s+1)\varepsilon_{2k})] \\
f_{22}^{(k+4)} &= (-1)^k [\tilde{E}_k (\beta_{2k}^+ S_p^- + \alpha_{2k}^- C_p^+) - \alpha_E (S_p^- \sin(s+1)\varepsilon_{2k} - C_p^+ \cos(s+1)\varepsilon_{2k})] \\
f_{22}^{(k+6)} &= (-1)^k [\tilde{E}_k (\beta_{2k}^+ C_p^- - \alpha_{2k}^- S_p^+) - \alpha_E (C_p^- \sin(s+1)\varepsilon_{2k} + S_p^+ \cos(s+1)\varepsilon_{2k})]
\end{aligned}$$

В формулах (2.7) и (2.9) первые множители зависят только от аргументов  $(s, \varepsilon)$ , а вторые—от  $(\xi, \theta)$ . Если аргумент в одном множителе задан в явном виде, то второй множитель зависит только от  $(\xi, \theta)$ .

Систему уравнений (2.5) путем исключения неизвестных  $Y_{nk}$  ( $n, k=1, 2$ ) или неизвестных  $X_{pk}$  ( $p=1, 3; k=1, 2$ ), как это сделано в работе [1], можно привести к двум неизвестным регулярным системам интегральных уравнений Фредгольма второго рода. Из-за громоздких формул и уравнений эти системы здесь не приводятся.

Если неизвестные функции представить в виде рядов Фурье по приведенным, ортогональным на линии  $L_p$ , многочленам Чебышева-Эрмита

$$X_{pk}(\xi) = \Gamma(1+\xi) \sum_{q=0}^{\infty} X_{pk}^{(q)} \tilde{H}_q(\xi), \quad Y_{nk}(\xi) = \Gamma(1+\xi) \sum_{q=0}^{\infty} Y_{nk}^{(q)} \tilde{H}_q(\xi) \tag{2.10}$$

то систему (2.5) можно привести к решению бесконечных систем алгебраических уравнений

$$X_{pk}^{(l)} + \sum_{q=0}^{\infty} [A_{2m,l(k)}^{(q,l)} Y_{11}^{(q)} + A_{2m,l(k)+2}^{(q,l)} Y_{21}^{(q)} + A_{2m,l(k)+1}^{(q,l)} Y_{12}^{(q)} + A_{2m,l(k)+3}^{(q,l)} Y_{22}^{(q)}] = 0$$

$$Y_{nk}^{(l)} + \sum_{q=0}^{\infty} [A_{1n,l(k)}^{(q,l)} X_{11}^{(q)} + A_{1n,l(k)+2}^{(q,l)} X_{12}^{(q)} + A_{1n,l(k)+1}^{(q,l)} X_{31}^{(q)} + A_{1n,l(k)+3}^{(q,l)} X_{32}^{(q)}] = F_{nk,l}$$

где

$$A_{nk,h}^{(q,l)} = (-1)^{l+1} \int_{L_v} \int_{L_w} \Gamma(s-\xi+1) H_l(s) H_q(\xi) \exp[(s-c)^2] \frac{K_{nk}^{(h)}(s, \xi)}{\Delta_v(\xi)} ds d\xi;$$

$$F_{nk,l} = (-1)^{l+1} l \int_{L_s} F_{nk}(s) H_l(s) \exp[(s-c)^2] \Gamma^{-1}(1+s) ds$$

$$\left( v = \begin{cases} 1, & n=1 \text{ и } k=1 \\ 2, & n=2 \\ 3, & n=1 \text{ и } k=2 \end{cases} \quad w = \begin{cases} 1, & n=2 \text{ и } k=1 \\ 2, & n=1 \\ 3, & n=2 \text{ и } k=2 \end{cases}; \quad h=1 \div 8; \quad l=0, 1, \dots \right)$$

Возможно, что система (2.11) не регулярна. Но исключением неизвестных  $X_{pk}$  ( $Y_{nk}$ ) и преобразованием системы получим новую вполне регулярную систему для определения неизвестных  $Y_{nk}$  ( $X_{pk}$ ).

После решения уравнений (2.5) или (2.11) искомые напряжения будем вычислять по формулам [8]. Например, приведем выражения нормального напряжения  $\sigma_r$  в точках отрезка  $O_1O_2$  ( $\bar{\tau}_{11}=\bar{\tau}_{21}=0$ ;  $r_1+r_2=a_1$ ) и касательного контактного напряжения  $\tau_{r\varphi}$ , действующего на луче  $O_2C$

$$\sigma_r^{(0)} = -\frac{1}{2\pi i} \int_{L_1} s[(s-1)(A_{11}+C_{11})+4C_{11}] r_1^{-s-1} ds -$$

$$-\frac{1}{2\pi i} \int_{L_2} s[(s-1)(A_{21}+C_{21})+4C_{21}] r_2^{-s-1} ds \quad (2.13)$$

$$\tau_{r\varphi} = \frac{1}{2\pi i} \int_{L_1} s \Phi'_{21}(s, \theta_{21}) r_2^{-s-1} ds - \frac{1}{2\pi i} \int_{L_2} \left[ \left\{ \frac{1}{2} \Phi'_{11}(s, \bar{\varphi}_{11}) + \right. \right.$$

$$\left. \left. + (1-s^2) \Phi_{11}(s, \bar{\varphi}_{11}) \right] \sin 2(\theta_{21}-\bar{\varphi}_{11}) - s \Phi'_{11}(s, \bar{\varphi}_{11}) \cos 2(\theta_{21}-\bar{\varphi}_{11}) \right\} r_1^{-s-1} ds$$

$$\bar{\varphi}_{11} = \operatorname{arctg} (r_2 \sin \theta_{21} / (r_2 \cos \theta_{21} - a_1)), \quad r_1 \sin \bar{\varphi}_{11} + r_2 \sin \theta_{21} = 0$$

Определив неизвестные функции  $X_{pk}$  и  $Y_{nk}$  ( $p=1, 3; n, k=1, 2$ ), функции  $A_{pk}, \dots, D_{pk}$  и  $A_{2k}, \dots, D_{2k}$  будем определять по формуле (2.1). После чего по формуле (2.13) будут вычислены напряжения. Интегралы, входящие в (2.13), будем вычислять при помощи теории вычетов. Например, если на границе тела, вдали от

вершины  $O_1$ , действуют сосредоточенные силы или моменты, то все полюсы подынтегральных функций (кроме, может быть, точек  $s=0, \pm 1$ ) будут простыми и поэтому напряжения (2.13) при  $r_n < a_n$  ( $n=1, 2$ ) представляются в виде

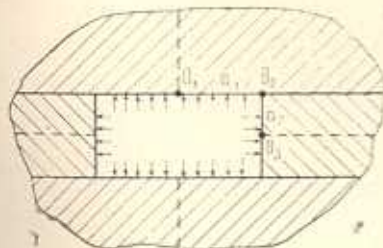
$$a_1 a_2 \sigma_r^{(1)} = \sum_{n=1}^2 \left[ \sum_{(\operatorname{Re} z_{nk} < 0)} A_{nk}^{(1)} \left( \frac{a_n}{r_n} \right)^{z_{nk}+1} + \sum_{k=1}^{\infty} A_{nk}^{(1)} \left( \frac{a_n}{r_n} \right)^{-k+1} \right]$$

$$a_1 a_2 \tau_r = \sum_{n=1}^2 \left[ \sum_{(\operatorname{Re} z_{nk} < 0)} A_{nk}^{(2)} \left( \frac{a_n}{r_n} \right)^{z_{nk}+1} + \sum_{k=1}^{\infty} A_{nk}^{(2)} \left( \frac{a_n}{r_n} \right)^{-k+1} \right] \quad (2.14)$$

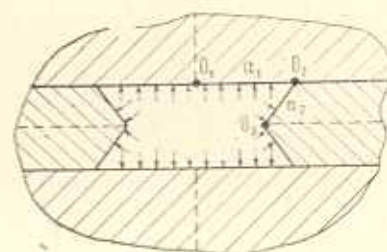
где коэффициенты  $A_{nk}^{(j)}$  ( $j=1 \div 4$ ) определяются по известным формулам простых вычетов и зависят известным образом [8] от углов  $\varphi_n$ ,  $\theta_{nk}$ , упругих постоянных и внешней нагрузки. Вторые суммы появляются из-за того, что, как следует из (2.5), все неизвестные функции имеют полюсы в точках  $s=-k$  ( $k=1, 2, \dots$ ). Если, хотя бы, одно из соотношений  $a_n/r_n < 1$  ( $n=1, 2$ ), то вид второй формулы (2.14) будет меняться.

3°. В качестве численного примера рассмотрена задача о контакте двух полуплоскостей из одинаковых материалов ( $E_1, v_1$ ) и двух симметрично расположенных полубесконечных полос ( $E_2, v_2$ ) постоянной толщины. При этом отверстие в составной плоскости имеет вид: 1) прямогоугольника (фиг. 3); 2) вогнутого симметричного многоугольника (фиг. 4); 3) выпуклого симметричного многоугольника (фиг. 5). Внешняя нагрузка приложена на берегах отверстия в виде равномерного давления интенсивности  $P$ . При вычислениях принято

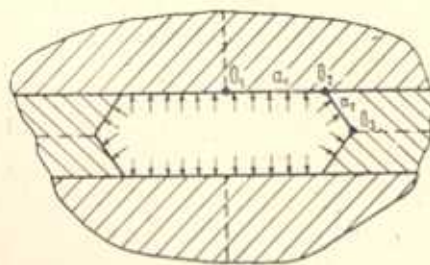
$$v_1 = 0.3, \quad v_2 = 0.25, \quad E_1/E_2 = 2, \quad 2a_1 = a_2 = 2$$



Фиг. 3



Фиг. 4



Фиг. 5

При вычислениях бесконечные системы (2.14) сначала приведены к регулярным видам, которые затем решены методом последовательных приближений. При этом во всех рассмотренных случаях сумма модулей коэффициентов при неизвестных не превышает значения 0,33.

В табл. 1 приводятся значения некоторых первых корней целых функций  $\Delta_1(\xi)$ ,  $\Delta_2(\xi)$  и  $\Delta_3(\xi)$ .

Таблица 1

	$\Delta_1$	$\Delta_3$	$\Delta_2$
1	1	1	0,6450
	2	2	$1,9989 + 0,3009 i$
	3	3	$2,9958 + 0,3041 i$
	4	4	$3,9998 + 0,3239 i$
	5	5	$4,9999 + 0,3243 i$
	6	6	$5,9999 + 0,3248 i$
2	совпадает с первым случаём	2,7396 + 1,1190	0,7454 + 0,4170 i
		6,8452 + 1,6816	$1,9731 + 0,2216 i$
		10,8856 + 1,9702	$3,1953 - 1,1062 i$
		14,9080 + 2,1673	$3,9998 - 0,3231 i$
		18,9225 + 2,3174	$4,5571 - 1,2417 i$
		22,9327 + 2,4388	$4,9953 + 0,3167 i$
3	совпадает с первым случаём	0,5450	0,8394
		1,6292 + 0,2312	$1,9735 + 0,2302 i$
		2,9718 - 0,3739	$3,0067 + 0,3006 i$
		4,3104 - 0,4554	$4,0000 - 0,3244 i$
		5,6471 + 0,5136	$4,9947 - 0,3269 i$
		6,9829 + 0,5591	$5,9988 + 0,3331 i$

В табл. 2 приводятся значения интенсивностей напряжений  $\sigma_\varphi$  около точки  $O_2$  при разных направлениях площадки, на которой действует  $\sigma_\varphi$ . При первых пяти значениях  $\varphi$  площадка находится в первом материале, а при остальных—во втором.

Таблица 2  
Коэффициенты интенсивности контактного напряжения

1		2		3	
$\varphi$	$K_\varphi$	$\varphi$	$K_\varphi$	$\varphi$	$K_\varphi$
60°	0,030	60°	0,084	60°	0,024
85°	0,125	85°	0,248	85°	0,087
105°	0,213	105°	0,347	105°	0,143
130°	0,225	130°	0,485	130°	0,154
180°	0,254	180°	0,564	180°	0,158
80°	0,161	90°	0,483	30°	0,112
45°	0,038	60°	0,342	20°	0,094
30°	0,013	30°	0,045	10°	0,012

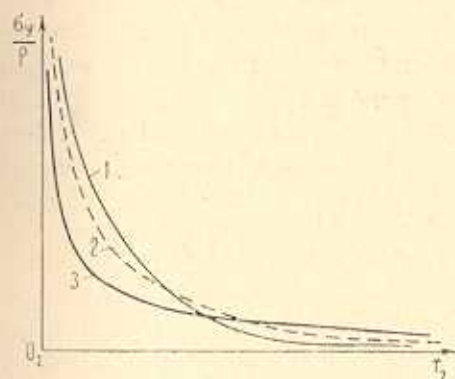
В табл. 3 приведены значения некоторых первых коэффициентов  $A_{nk}^{(3)}$  ( $n=1, 2, 3; k=1$ ) разложения (2.14) нормального контактного напряжения  $\sigma_\varphi$ , действующего около угловой точки  $O_2$ .

Таблица 3

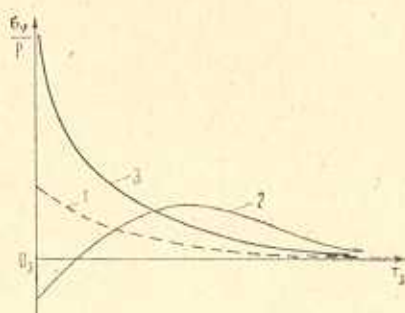
Коэффициенты разложения  $A_{nk}^{(3)}$  ( $n=1, 2, 3; k=1$ ) контактного напряжения  $\sigma_\tau$ 

1	2	3
0,254	0,548+0,174 <i>i</i>	0,158
-0,165+0,118 <i>i</i>	-0,318-0,109 <i>i</i>	0,047-0,019 <i>i</i>
-0,079+0,028 <i>i</i>	0,212+0,074 <i>i</i>	-0,012-0,009 <i>i</i>

Вычисления показывают, что наибольшая концентрация контактного напряжения  $\sigma_\tau$  для рассмотренных случаев возникает, если отверстие имеет вид, указанный на фиг. 4.



Фиг. 6



Фиг. 7

На фиг. 6 приведены графики распределения напряжения  $\sigma_\tau$ , действующего на одной из осей симметрии  $O_3B$ . Вычисления показывают, что появление угловой точки существенно отражается на распределении напряжения  $\sigma_\tau$  в непосредственной близости от точки  $O_3$ .

Как видно из табл. 2, максимальный коэффициент интенсивности ( $K_z$ )  $= |A_{21}^{(1)}|$  при особенности получается на площадках контакта двух материалов. На других площадках в этой же точке  $O_3$  коэффициенты интенсивности напряжения  $\sigma_\tau$  уменьшаются по мере приближения к границам.

ԲԱՐՄԱՆԿՈՒՆԱԶԵՎ ԱՆՑՔՈՎ ԹՈՒԱՅՎԱԾ ԲԱՂԱԴՔԱՆ  
ՀԱՐԹՈՒԹՅԱՆ ՀԱՄԱՐ ԽՆԴԻՐ

Ա. Ա. ԲԱՐՁՈՅԱՆ, Ա. Գ. ԹԱԴԻՆՈՅԱՆ

### Ա Ժ Փ Ո Փ Ո Ւ Թ

Դիտարկվում է տարրեր նյութերից երկու հատած սեպերի համար առաձգականության հարթ կոնտակտային խնդիրը, որոնք միացված են այնպես, որ կազմում են երկու վերջավոր և երկու կիսաանվերջ կողմեր ունեցող անվերջ տիրուլիթ (նկ. 1): Տիրուլիթի վերջավոր կողմերի վրա տրված են լարումները, իսկ նրա մնացած եղբերի վրա բավարարվում են սիմետրիայի պայմանները:

Խնդիրը լուծված է Մելլինի ձևափոխության կիրառմամբ ընդհանրացված սուպերպոզիցիայի մեթոդով: Խնդիրը լուծումը բերվել է քվաղիլիովին ուղղույալ գծային հանրահաշվական հավասարումների անվերջ սխատեմի լուծմանը: Դիտարկված են թվային օրինակներ:

## PROBLEM FOR THE COMPOSED PLANE, WEAKENED BY THE POLYGOHAL HOLE

A. A. BABLOYAN, R. G. TADEVOSIAN

### Summary

The plane contact problem of the theory of elasticity has been considered for double truncated wedges of various material linked so as to make an infinite area with two finite and two semi-infinite sides (Fig. 1). The stresses are given on the finite sides of the area and on the other sides the conditions of symmetry are satisfied. The problem is solved by means of the method of generalized superposition with the use of Mellin transform. The problem is reduced to quasi-complete regular infinite systems of linear algebraic equations. Numerical examples are presented.

### ЛИТЕРАТУРА

1. Баблоян А. А. Плоская контактная задача для двух усеченных клиньев.—Докл. АН Арм. ССР, 1977, т. 65, № 5.
2. Баблоян А. А., Гулканян Н. О. Плоская задача теории упругости для области, составленной из двух усеченных клиньев.—Докл. АН Арм. ССР, 1976, т. 62, № 3.
3. Гринченко В. Т., Коваленко А. Д., Улитко А. Ф. Анализ напряженного состояния жестко-зашемленной пластиинки на основе решения пространственной задачи теории упругости.—Тр. VII Всесоюз. конф. по теории оболоч. и пласт., М.: Наука, 1970.
4. Златин А. Н., Уфлянд Я. С. Осьсимметрическая контактная задача о вдавливании упругого цилиндра в упругий слой.—ПММ, 1976, т. 40, вып. 1.
5. Нулер Б. М. О некоторых обобщениях метода кусочно-однородных решений.—Изв. ВНИИГ, 1978, т. 120.
6. Нулер Б. М. О новых обобщениях метода кусочно-однородных решений.—Изв. ВНИИГ, 1978, т. 124.
7. Тадевосян Р. Г. Плоская задача для бесконечного составного клина.—Изв. АН Арм. ССР, Механика, 1983, т. 36, № 6.
8. Уфлянд Я. С. Интегральные преобразования в задачах теории упругости.—Л.: Наука, 1967.
9. Bogy D. B. The plane Solution for Joined Dissimilar Elastic Semi-Strips under Tension—J. of Appl. Mech., 1975, v. 42 (Tr. ASSME, vol. 97), Ser. E, 93.
10. Westman R. A. Geometrical Effects in Adhesive Joints. Intern. Journ. Eng. Sci. 1975, vol. 13, 369—391.
11. Баблоян А. А., Гулканян Н. О. Плоская задача для соединения из трех полуполос из различных материалов и для плоскости с отверстием в виде многоугольника.—Тезисы докладов, Всесоюз. конф. по теории упругости. Ереван: Изд. АН Арм. ССР, 1979.

Ленинаканский педагогический институт  
им. М. Налбандяна

Республиканский Вычислительный Центр МСХ АрмССР

Поступила в редакцию  
2.III. 1984